论著

超声与MRI在宫颈癌 分期中的应用研究

四川省妇幼保健院功能影像科 (四川 成都 610045)

蒋 琴 何冠南

【摘要】目的 探讨超声与MRI在宫颈癌分 期中应用价值。方法 回顾性分析医院61 例经手术病理确诊为宫颈癌患者的术前阴 道超声和MRI影像学资料,分析影像学表 现,对比两种影像学诊断方式诊断宫颈癌 及术前分期的准确性。结果 61例宫颈癌 均经临床病理检查确诊,术前超声诊断宫 颈癌及临床分期的准确率分别为60.66%、 50.82%明显低于MRI的93.44%、85.25%(P < 0.05)。37例超声表现异常,宫体不规 则增大, 子宫颈形态异常, 回声不均匀改 变; 肿块呈实质性低回声, 血流信号较正 常组织丰富, 宫颈黏膜线弯曲、中断或消 失。9例淋巴结肿大,11例侵犯阴道,7例 侵犯宫体,1例侵犯膀胱。57例MRI图像异 常,T1WI等信号或低信号,T2WI以高信号 为主,STIR序列上T2WI高信号,且高于平 扫T2WI, 增强扫描后有不同程度的强化。 14例淋巴结肿大, 15例侵犯阴道, 10例侵 犯宫体,2例侵犯膀胱,1例侵犯直肠。结 论 MRI诊断宫颈癌及其分期的准确率高于 超声, 可为临床确定治疗方案提供客观资

【关键词】宫颈癌; MRI; 经阴道超声; 术前分期; 淋巴结转移 【中图分类号】R445.2; R737.33 【文献标识码】A

DOI: 10.3969/j.issn.1672-5131.2016.09.033

通讯作者: 蒋 琴

Application of Ultrasound and MRI in Staging of Cervical Cancer

JIANG Qin, HE Guan-nan. Department of Ultrasound, Sichuan Provincial Hospital for Women and Children, Chengdu 610045, Sichuang Province, China

[Abstract] Objective To explore the application value of ultrasound and MRI in staging of cervical cancer. *Methods* The preoperative transvaginal ultrasound and MRI data of 61 patients with cervical cancer confirmed by surgery and pathology were analyzed retrospectively. The imaging findings were analyzed, and the accuracy rates in the diagnosis of cervical cancer and preoperative staging were compared between the two imaging diagnostic methods. Results 61 cases of cervical cancer were diagnosed by clinical and pathological examination. The accuracy rates of preoperative ultrasound in the diagnosis of cervical cancer and clinical stage (60.66%, 50.82%) were significantly lower than those of MRI (93.44%, 85.25%) (P<0.05). Ultrasound of 37 cases showed abnormalities, irregular enlargement of uterine body, abnormal shape of uterine neck and inhomogeneous changes of echo. The tumors presented substantial low echo, and blood flow signals were richer than those in normal tissues. The cervical mucosa line was bent and interrupt or disappeared. There were 9 cases of lymph node enlargement, 11 cases of invasion of the vagina, 7 cases of invasion of the uterine and 1 cases of invasion of the bladder. MRI images of 57 cases were abnormal, showing equal signal or low signal on T1WI and high signal on T2WI, T2WI high signal on STIR sequence, higher than that of plain scan T2WI. After enhanced scan, there were different degrees of enhancement. There were 14 cases with lymph node enlargement, 15 cases with invasion of the vagina, 10 cases with invasion of the uterine, 2 cases with invasion of the bladder and 1 case with invasion of the rectum. Conclusion The accuracy of MRI in the diagnosis of cervical cancer and its staging is higher than that of ultrasound, which can provide objective information for clinical diagnosis and treatment.

[Key words] Cervical Cancer; MRI; Transvaginal Ultrasound; Preoperative Staging; Lymph Node Metastasis

宫颈癌是临床常见的恶性肿瘤,发病率位居女性恶性肿瘤的第二位,近年来发病趋于年轻化^[1]。目前,宫颈癌分期标准参照国际妇产科联盟(FIGO)^[2],分期不同临床治疗方案也存在明显差异,直接影响着疾病预后。因此,术前明确肿瘤分期,了解宫旁浸润程度,对临床选取合适方式治疗有积极意义。超声是临床诊断宫颈癌的常用方式,虽然能提高宫颈癌的检出率,但诊断术前分期、宫旁浸润程度的准确率仍相对较低。MRI具有无创、软组织分辨率高、多方位成像的特点,可临床治疗提供丰富资料。对此,本文分析了51例宫颈癌患者术前超声及MRI的影响学资料,并与手术病理对比,现报道如下。

1 资料与方法

1.1 临床资料 选取2013年3月~2015年3月医院经手术病理确诊为宫颈癌的患者61例,年龄35~70岁,平均(53.26±4.34)岁。临床症状:35例引导不规则出血,12例接触性出血,6例阴道分泌物增多。其中49例鳞癌,11例腺癌,1例腺鳞癌。FIGO分期:9例 I a期,18例 I b期,21例 II a期,8例 II b期,3例IIIa期,2例IIIb期。术前1周内行经阴道超声和MRI检查。排除影像学检查资料不完整、术前接受放化疗治疗。

1.2 检查方法

1.2.1 经阴道超声检查:采用美国GE LOGIQ5型彩色多普勒超声诊断仪,经阴道超声探头,频率6.5MHz。检查前排空膀胱,取仰卧位,经阴道置入探头,检查期间缓慢旋转和摆动探头,仔细检查阴道、宫颈内口和外口;探查膀胱颈至直肠窝,左右达盆壁的闭孔内肌,尤其是宫颈韧带区域。

1.2.2 MRI检查: 采用美国GE 公司的1.5T磁共振扫描仪,8通 道体部相控阵线圈。检查前饮水 500mL, 使得膀胱处于半充盈状 态。横断位快速自旋回波(FSE)序 列T1WI, TR/TE=440ms/8.4ms, 层厚6mm, 层距1mm; 横轴位快速 恢复FSE(FRFSE)序列T2WI, TR/ TE=3600ms/135ms, 层厚5mm, 层距1mm: 矢状位FRFSE序列 T2WI, TR/TE=3500ms/130ms, 层 厚5mm, 层距1mm: 横断位及矢 状位脂肪抑制序列TSE T2WI, TR/TE=2500ms/90ms, 层厚5mm, 层距1mm。平扫结束后经肘静 脉注射对比剂扎喷酸葡胺(Gd-DTPA) 0.1mmol/kg行增扫描。

1.3 **图像分析** 超声图像分析 两名主任医师共同观察,观察超声图像上子宫大小、形态、回声、病灶浸润范围等情况,记录检测的淋巴结数量、位置、大小等。MRI图像由两名经验丰富的放射科医师共同阅片,观察MRI图像上病灶的位置、大小、信号、病灶浸润范围等。意见不一致处经讨论达到统一意见。

1.4 统计学方法 采用统计 学软件SPSS19.0处理数据,计数 资料采用%表示,采用 x^2 检验。以 P<0.05为差异具有统计学意义。

2 结 果

2.1 超声和MRI诊断宫颈癌 的准确性比较 61例宫颈癌均 经临床病理检查确诊,术前超 声诊断准确37例,占60.66%,MRI诊断准确率为57例,占93.44%,差异具有统计学意义(x²=18.541,P=0.000)。

2.2 超声和MRI诊断宫颈癌分期的准确性比较 超声诊断临床分期的准确率50.82%(31/61),MRI诊断临床分期的准确率为85.25%(52/61),差异具有统计学意义(x²=25.761,P=0.000),见表1-2。

2.3 影像学表现

2.3.1 超声表现:37例超声 表现异常,宫体不规则增大,无 清晰边界,子宫颈形态异常,10 例宫颈大于宫体,回声不均匀改 变,内部有光斑(点);肿块呈实 质性低回声,大小不等,无清贴 边界,血流信号较正常组织丰富 (图1),大多为动脉频谱,高度 低阻型血流信号,宫颈黏膜结肿 大,11例侵犯阴道,7例侵犯膀 体,2例侵犯宫颈,1例侵犯膀胱。

2.3.2 MRI表现: 57例MRI图像异常,40例圆形肿块,17例不规则肿块。T1WI等信号(34例)或低信号(23例),与周围组织无清

晰间隙,10例侵犯宫旁及盆腔组织呈高信号;52例T2WI高信号,与周围组织有清晰边界(图2),5例T2WI略低信号。STIR序列上55例T2WI高信号,且高于MRI平扫(图3);增强扫描后有不同程度的强化。14例淋巴结肿大,15例侵犯阴道,10例侵犯宫颈(图4),3例侵犯宫颈,2例侵犯膀胱,1例侵犯直肠。

3 讨 论

宫颈癌是女性生殖系统较为常见的恶性肿瘤之一,目前,宫颈癌分期主要采用FIGO标准。一般情况下,对于 I a期宫颈癌患者常给予根治术治疗; I b~II b期常行根治性子宫切除术联合盆腔淋巴结清扫术治疗;II b期以上需在根治性子宫切除术联合盆腔淋巴结清扫术治疗的基础上给予放化疗治疗,降低肿瘤复发率^[3]。可见,术前明确肿瘤分期对临床确定治疗方案具有指导意义。

超声是临床诊断宫颈癌的常用影像学方式,但临床研究中发现,早期宫颈癌超声图像上无异常,在诊断 I a期及以下宫颈癌

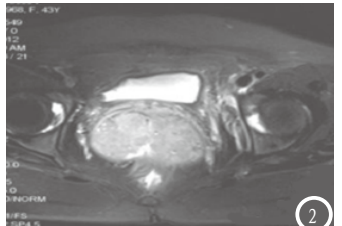
表1 超声诊断宫颈癌分期的准确性

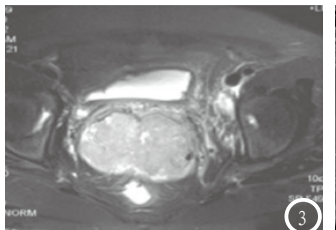
超声分期	手术病理									
	Ia期	Ib期	IIa期	II b期	IIIa期	IIIb期				
Ia期	2	3	0	0	0	0	5			
Ib期	4	8	3	0	0	0	15			
IIa期	3	7	13	2	0	0	25			
II b期	0	0	4	4	0	0	8			
IIIa期	0	0	1	2	2	0	5			
IIIb期	0	0	0	0	1	2	3			
合计	9	18	21	8	3	2	61			

表2 MRI诊断宫颈癌分期的准确性

MRI分期		合计					
	Ia期	Ib期	II a期	II b期	IIIa期	IIIb期	
Ia期	6	1	0	0	0	0	7
Ib期	3	16	1	0	0	0	20
IIa期	0	1	19	1	0	0	21
II b期	0	0	1	6	0	0	7
IIIa期	0	0	0	1	2	0	3
IIIb期	0	0	0	0	1	2	3
合计	9	18	21	8	3	2	61







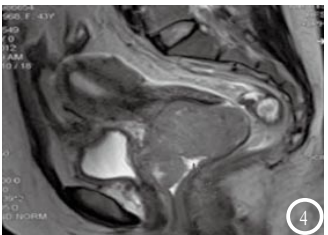


图1 经阴道超声图。子宫形态异常,回声不均匀改变,内部有光点,可见丰富血流信号;图2 MRI T2WI上可见病灶高信号;图3 MRI STIR序列上T2WI高信号;图4 MRI病灶累及宫颈。

病变中的应用价值并不高^[4]。 I b 期~Ⅳ期宫颈癌形态、血流、回 声等变化明显,在超声上有特征 性表现,可提高诊断准确率[5]。 此外经阴道超声检查期间与病灶 距离短,受肥胖、肠气干扰小, 便于临床清楚观察病灶大小、位 置、回声、血流分布特点,协助 临床分期。有研究指出,超声上 宫颈癌无明显边界与其浸润生长 的特点有关[6]。宫颈癌周围有大 量的滋养血管,超声上表现为病 区血流信号丰富。研究发现,宫 颈癌超声图像具有以下特征: 子 宫明显增大,形态改变,无清晰 边界, 部分宫颈明显增大: 宫颈 黏膜线异常; 宫颈回声不均匀改 变;血流信号丰富等[7],本研究 中超声图像表现与其一致。

MRI具有良好的软组织分辨 率,可进行多方位、多序列扫 描,通过观察盆腔内部器官、组 织间的信号,等了解宫颈癌部 位、宫旁侵犯、淋巴结转移等情 况。正常宫颈癌组织在MRI上表现 为T1WI低信号, T2WI可见内带、 中带、外带三层信号, 分别为高 信号黏膜膜层、低信号子宫肌内 层、中信号子宫肌外层;周围脂 肪组织在T1WI、T2WI上为高信 号;而宫颈癌在MRI上T1WI上低信 号或等信号,增强扫描时明显强 化: T2WI上大部分为高信号,与 子宫、宫颈基环有清晰边界,可 清楚显示宫颈形态及与膀胱、直 肠的关系: STIR及增强扫描后图 像显示更为清晰, 可明确了解宫 旁、阴道等侵犯情况^[8-9]。本组研 究中, MRI诊断宫颈癌及其分期的 准确率明显高于超声(P<0.05),

淋巴结转移不作分期的指标,但其是影响宫颈癌患者手究后的重要因素^[11]。本组例数中,超声检查淋巴结转移的例数(笔者认为淋巴结可存在于宫旁及盆腔内任何组织,经阴道超声检查范围受到限制,部分淋巴结扫描遗漏;超声无法达到淋巴结的解剖定位,的淋巴结转移情况。MRI可从多序列扫描,扫描范围广,软组织断率^[12]。

参考文献

- [1] Balleyguier, C., Fournet, C., Ben Hassen, W. et al. Management of cervical cancer detected during pregnancy: Role of magnetic resonance imaging [J]. Clinical imaging, 2013, 37 (1): 70-76.
- [2] Kraljevic Z, Viskovi c K, Ledinsky M, et al. Primay uterine cervical cancer :correlation of preoperative resnance imaging and clinical staging (FIGO) with histopathology fingings [J]. Coll ntropol, 2013, 51 (37): 561
- [3] 崔荔群, 温岩. 年轻女性宫颈癌的发病因素及治疗进展[J]. 中国妇幼保健, 2011, 26(3): 460-463.
- [4]于晓伟,张松灵,张晓霞,等. 经阴道 彩色多普勒超声检查在早期宫颈癌 诊治中的意义[J]. 中国超声医学杂志, 2011, 27(1): 60-62.
- [5] 翁亮, 柯友森. 初诊宫颈癌超声特征 及与病理参数相关性分析[J]. 医学 综述, 2015, 21(20): 3779-3781.
- [6] 王多丽. 超声诊断早期宫颈癌的临床应用价值[J]. 皖南医学院学报, 2015, 34(3): 289-291.
- [7] 王先进, 李沿江. 宫颈癌的超声诊断进展 [J]. 南昌大学学报 (医学版), 2013, 53(9): 98-100.
- [8]程祝忠,任静,王闽,等.MRI动态增强成像对宫颈癌的诊断和分期价值[J].西部医学,2011,23(4):713-715.
- [9] 叶斌强, 孙鹏飞. 宫颈癌诊断及疗效评价的影像学研究进展[J]. 中国CT和MRI杂志, 2014, 12(2): 109-112.
- [10] 覃飞, 车锦连, 薛元领, 等. MRI在宫 颈癌诊断及分期中的应用[J]. 广西 医科大学学报, 2013, 30(2): 258-260
- [11] 李燕,王銮虹,朱安娜,等.I B1~Ⅱ B期宫颈癌盆腔淋巴结转移 的分布特点及其对预后的影响[J]. 实用妇产科杂志,2013,29(8):598-602.
- [12] 曾春. CT与MRI在术前诊断直肠癌淋巴结转移的临床价值对比[J]. 中国CT和MRI杂志, 2015, 13(12): 98-101. (本文编辑: 汪兵)

【收稿日期】2016-08-06